

ساخت و بررسی رفتار کششی نانوکامپوزیت وینیل استر/دی اکسید تیتانیوم

حامد صالحیان^{*} و سید احمد جنابعلی جهرمی^۱

چکیده

تاکنون، بیشتر پژوهش‌ها فرآیند تولید و تأثیر آن بر خواص نانوکامپوزیت‌های اپوکسی را مورد بررسی قرار داده اند و داده‌های کمی پیرامون نانوکامپوزیت‌های پلیمری با زمینه وینیل استر وجود دارد. این در حالی است که وینیل استر یکی از رزین‌های پرمصرف در صنعت کامپوزیت بشمار می‌رود. در سال‌های اخیر، افزودن تقویت‌کننده‌ها با ابعاد کوچک (سویزه در مقیاس نانو) به عنوان راه حلی جهت ارتقاء خواص مطرح شده است. در نانوکامپوزیت‌ها، بدلیل نفوذ زنجیره‌های پلیمری به نانوذرات و ایجاد پیوند مناسب با آن‌ها، بهبود خواص را می‌توان انتظار داشت.

هدف از این پژوهش، ساخت و بررسی رفتار کششی نانوکامپوزیت‌های وینیل استر/دی اکسید تیتانیوم می‌باشد. نمونه‌های نانوکامپوزیتی با استفاده از روش مخلوط‌سازی مذاب و با محتوای ۱، ۲/۵ و ۵ درصد وزنی از نانوذرات TiO_2 تولید شدند. هم‌چنین، BYK-C8000 به عنوان عامل پیوندساز پلیمری به مخلوط اضافه گردید. در ابتدا، تأثیر پارامترها تولید بر خواص نانوکامپوزیت وینیل استر/ TiO_2 (٪ وزنی) مورد ارزیابی قرار گرفت و در ادامه، با انتخاب شرایط بهینه و تثبیت پارامترهای تولید، تأثیر محتوای نانوذرات بر خواص نمونه‌ها مطالعه شد. رفتار کششی نانوکامپوزیت، با استفاده از آزمون کشش تک محور مورد ارزیابی قرار گرفت. نتایج حاکی از آن است که با افزایش محتوای TiO_2 در زمینه پلیمری، مدول یانگ همواره افزایش خواهد یافت؛ در حالی که درصد کرنش تا شکست نانوکامپوزیت نسبت به نمونه خالص کاهش می‌یابد.

واژه‌های کلیدی: نانوکامپوزیت وینیل استر، نانوذرات TiO_2 ، عامل پیوندساز پلیمری، رفتار کششی.

۱- کارشناسی ارشد مهندسی مواد، بخش مهندسی مواد، دانشگاه شیراز.

۱- استاد بخش مهندسی مواد، دانشکده مهندسی، دانشگاه شیراز.

*-نویسنده مسئول مقاله: salehian.hamed@gmail.com

عمل می‌کنند که اتصال میان پرکننده و رزین پلیمری را با یک یا چند مکانیزم نظیر ایجاد پیوند کوالانسی، گره خودگی با زنجیره پلیمری و برهم‌کنش‌های ثانویه مستحکم مانند پیوند هیدروژنی موجب می‌شوند [۱۳ و ۱۴]. جهت توزیع پودرهای تجاري موجود در مایعات، روش‌های مکانیکی ابداع شده‌اند که اغلب در صنایع لاک و رنگ بکار می‌روند. این روش‌ها نیروهای برشی بالایی را در حین فرآیند توزیع به منظور شکست آگلومرها و توزیع همگن پرکننده‌های منفرد در پلیمر اعمال می‌کنند. یک دانسیته انرژی موضعی بالا می‌تواند با استفاده از اصول کاری گوناگونی مانند دیسک‌های چرخشی، سیستم‌های روتور - استاتور، تاثیر سایش ناشی از حرکت گوی‌های سرامیکی یا ترکیبی از این فناوری‌ها محقق شود. راندمان چین روش‌هایی ممکن است با استفاده از امواج فراصوت^۲، افزایش بیشتری یابد [۱۵ و ۱۶]. روش‌های فراصوت قادرند شکست آگلومره ذرات را با مخلوط‌سازی موثر اجزاء مواد در سطح مولکولی، همراه سازند [۱۷]. در این شیوه، فراصوت با شدت زیاد به داخل مخلوط مذاب زمینه - ذره اعمال شده که در این میان، حفره‌های هوایی می‌توانند در طول چند دوره توسعه یافته و رشد کنند. این رشد تا رسیدن به قطر بحرانی ادامه یافته و سپس انفجار داخلی صورت می‌گیرد. فرآیند متلاشی‌شدن حفره‌ها می‌تواند شرایط موضعی اضافی را به سیستم تحمیل کند. برای مثال، فشار و دمای موضعی بالا که در اصلاح نقطه داغ^۳ نامیده می‌شود [۱۸]، حضور نقاط داغ، از هم پاشیدگی آگلومره‌های ذره را موجب می‌شوند [۱۹]. امواج تکان‌دهنده حاصل از انفجار حفره‌ها به همراه میکرو مسیرهای ایجاد شده به وسیله نوسان‌های حفره‌ها، منجر به ایجاد اثرات توزیعی در سیستم می‌گردد. فاکتورهای گوناگونی مانند ویسکوزیتی، کشش سطحی و دمای مخلوط بر آستانه تشکیل حفره‌ها موثرند [۱۸]. Bittmann و همکارانش، مطالعه‌ای نظام یافته از پارامترهای گوناگون نظیر دامنه نوسان آلتراسونیک^۴، زمان توزیع و حجم ماده و نیز تاثیر آن‌ها بر اندازه ذره در مخلوط نانوذره - اپوکسی انجام دادند [۲۰] و

پیشگفتار

در سال‌های اخیر، پژوهش و توسعه در زمینه پلیمرهای پرشده با نانومواد بسیار مورد توجه قرار گرفته است. ترکیب خواص مشاهده شده در برخی از نانوکامپوزیت‌های پلیمری، کشف نانولوله‌های کربنی و نیز توسعه شگرف در آماده‌سازی و فرآیند تولید نانوذرات و نانوکامپوزیت‌ها از مهم‌ترین علل شکل‌گیری این جریان بشمار می‌روند [۴-۱].

ترکیب نانوذرات در پلیمر به چهار روش صورت می‌پذیرد: روش محلولی، مخلوط‌سازی مذاب، پلیمریزاسیون درجا و ترکیب الگو [۵]. امروزه بیشترین توجه، به روش مخلوط‌سازی در حالت مذاب معطوف گردیده و این عموماً به دلیل صرفه اقتصادی بیشتر، انعطاف‌پذیری در فرمول‌بندی بالاتر و بهره‌گیری از تجهیزات ترکیب و ساخت، در روش‌های تجاري و صنعتی بکار می‌رود. در راستای نیل به خواص مطلوب نانوکامپوزیت، چالش اساسی توزیع نانوذرات به صورت ذرات منفرد در زمینه پلیمری است. امروزه، پودرهای تجاري موجود شامل آگلومره‌هایی هستند که به خاطر نیروهای چسبندگی بین ذرات، به شدت بهم چسبیده‌اند. افزون بر این، نانوذرات دارای مساحت سطح ویژه بسیار بالایی هستند که برای دستیابی به نانوکامپوزیت‌هایی با توزیع مناسب و کمترین آگلومره در ساختار، می‌باشد روش ترکیب پلیمرها و پودرهای را مورد بررسی قرار داد [۶-۷].

روی هم رفته، خواص افزودنی‌ها (خواص ذاتی، اندازه و شکل)، ترکیب، برهم‌کنش اجزاء در مرزهای فازی و روش تولید، از جمله پارامترهای موثر بر خواص کامپوزیت‌های پلیمری بشمار می‌روند [۸]. یکی از راهکارهای دارای اهمیت جهت بهبود پیوند پرکننده‌زمینه، استفاده از عوامل پیوندساز است. در واقع، عوامل پیوندساز موادی هستند که در مقادیر کم بکار می‌رond تا یک سطح را اصلاح نمایند؛ به گونه‌ای که پیوندی مناسب میان آن سطح و سطوح دیگر برقرار گردد [۹]. عموماً این مواد، دربردارنده عوامل پیوندی و فعال کننده‌های سطحی^۱ به همراه عوامل سازگارساز و توزیع کننده بوده [۱۰-۱۲] و به عنوان پل‌هایی

²-Ultrasound Waves

³- Hot-Spot

⁴-Ultrasonic Amplitude

^۱-Surfactants

رسیدن به توزیع همگن نانوذرات را در پلیمر مورد تأکید قرار می‌دهد.

هرچند قابلیت‌های بویژه کامپوزیت‌های آلی/غیرفلزی بدیهی به‌نظر می‌رسد؛ با این حال، داده‌های آزمایشگاهی چندانی برای برخی از ترکیبات این‌گونه مواد در دست نیست. با توجه به گستره کاربرد وینیل استرها در صنعت کامپوزیت، هدف از این پژوهش، بررسی اثر محتوای نانوذرات TiO_2 بر خواص کششی نانوکامپوزیت وینیل استر/الیکسید تیتانیوم تعیین گردید. در راستای بهبود فصل مشترک میان تقویت‌کننده و رزین، عامل پیوندساز پلیمری BYK-C8000 به مخلوط افزوده شد. نمونه‌های نانوکامپوزیتی با روش مخلوط‌سازی مذاب و با محتوای ۱، ۲/۵ و ۵ درصد وزنی از نانوذرات پرکننده تولید شدند.

مواد و روش پژوهش

مواد

در این پژوهش از رزین وینیل استر (با ویسکوزیته اولیه ۳۰۰ centipoises (cps) در دمای اتاق) شرکت Scott (نوع: F-AD) Bader (نام: Crystic VE671) باشد. این پلیمری استفاده شده است. این رزین دارای مقاومت شیمیایی عالی در محدوده‌ای گسترده از مواد (اسیدها، بازها و عوامل اکسید کننده) می‌باشد که برخی از مشخصه‌های آن در جدول ۱ آمده است [۲۸].
مشخصه‌های آن در جدول ۱ آمده است [۲۸].
Dimethylamine (DMA) و Methyl Ketone Peroxide و کبات (۱/۸wt%) به عنوان پیش‌برنده^۱ و AkzoNobel Ethyl Ketone Pereroxide (۱/۲wt%) به عنوان کاتالیست به مخلوط اضافه شد.
نانوذرات دی‌اسیدتیتانیوم (TiO_2) از شرکت Degussa آلمان (نوع: P25) خریداری و به عنوان ماده پرکننده به زمینه پلیمری وینیل استر افزوده شد که برخی بویژگی‌های دارای اهمیت آن در جدول ۲ آمده است [۲۹]. عامل پیوندساز پلیمری محصول شرکت BYK (نوع: BYK-C8000) به منظور بهبود فصل مشترک میان رزین - تقویت‌کننده به مخلوط مذاب اضافه شد.

درباره‌ای که با گازهای اکسید کننده و نیز استفاده از بیشینه توان دستگاه می‌توان به نتایجی بهتر دست یافت. دلیلی عمده برای افزودن پرکننده‌ها به پلیمرها، افزایش مدول یا سختی از راه مکانیزم‌های استحکام‌بخشی است که به وسیله تئوری‌های مربوط به کامپوزیت‌ها بیان شده‌اند. توزیع مناسب و درست پرکننده‌ها، منجر به بهبود بسیار موثر سختی می‌گردد [۲۱-۲۳]. میکرو پرکننده‌های صلب از یک سو معمولاً سفتی را افزایش می‌دهند، اما از سوی دیگر، ممکن است اثری مخرب بر کرنش تا شکست داشته باشند [۲۴]. کرنش شکست معمولاً با افزایش مقدار پرکننده صلب، کاهش می‌یابد. بسته به مکانیزم‌های شکست و کیفیت چسبندگی بین پرکننده‌ها و زمینه، ممکن است کاهشی چشمگیر در کرنش شکست با مقدار کم پرکننده نیز ایجاد شود. کیفیت فصل مشترک از قبیل استحکام چسبندگی استاتیکی و سختی میان سطوح، عموماً نقشی بسیار مهم در توانایی انتقال تنش‌ها و تغییر شکل الاستیک مواد از زمینه به پرکننده بازی می‌کند [۲۵]. این مطلب بویژه برای نانوکامپوزیت‌ها درست است زیرا آن‌ها در برگیرنده بخش زیادی از فصل مشترک می‌باشند. چنانچه برهم‌کنش زمینه-پرکننده ضعیف باشد، ذرات نمی‌توانند هیچ بخشی از بار خارجی را تحمل نمایند. در این مورد، استحکام کامپوزیت نمی‌تواند بالاتر از زمینه پلیمری خالص باشد [۲۶]. شواهد حاکی از آن است که برای نانوکامپوزیت‌ها، کرنش در نیروی مکانیزم و نیز کرنش در شکست، آنچنان که انتظار می‌رود، دقیقاً رفتار نمی‌کند. این امر به توانایی نانوذرات در راهاندازی مکانیزم‌های اضافی شکست و مصرف انرژی، بدون ممانعت شدید تغییر فرم زمینه اشاره دارد. اگرچه در مقدار بالای ذرات پرکننده، ممکن است شمار زیاد ذرات غالب شده و مانع تغییر فرم زمینه گردد [۲۷]، در محتوای کم پرکننده که تمرکز تنش کمتری در ساختار وجود داشته و آگلومره‌های نانوذرات باقیمانده کوچک هستند، بهبود خواص را می‌توان انتظار داشت زیرا حضور آگلومره‌های نسبتاً بزرگ در زمینه، موجب تمرکز تنش موضعی در نمونه شده و گسترش ترک تا شکست نهایی را در پی خواهد داشت [۲۶-۲۴]. این مطلب، بار دیگر اهمیت

دقیقه، با توجه به افزایش دمای رزین در حین فرآیند آلتراسونیک، می‌بایست این دما به صورت خارجی در زیر دمای تخریب نگذاشته شود. لذا، ظرف حاوی مخلوط در حمام آب و یخ قرار داده شد. افزون بر این، امواج فراصوت در طول فرآیند چند مرحله‌ای به مخلوط اعمال گردید. در نهایت، مخلوط به وسیله یک پمپ خلاء (Edwards E2M2) گاززدایی شد. سپس، رزین وینیل استر با مقدار کافی از پیش برنده‌ها و کاتالیست به مدت ۱۰ دقیقه به آرامی مخلوط و در ادامه به وسیله پمپ خلاء تحت عملیات گاززدایی قرار گرفت تا حفره‌های هوایی از رزین خارج گردد. مخلوط حاصل به داخل قالب ریخته شد و پس از گذشت ۲۴ ساعت، با روش مشابه بیان شده برای پلیمر ترموموستی وینیل استر عمل آوری نهایی گردید.

خواص کششی

آزمون کشش که معمولاً برای بیان خواص مکانیکی پلیمرها در کوتاه مدت بکار می‌رود، مجموعه اطلاعاتی را پیرامون خواص مکانیکی اولیه نمونه‌ها و سنجش کیفیت آن‌ها در اختیار قرار می‌دهد. بر اساس استاندارد ASTM D638، نمونه‌های کششی از نانوکامپوزیت‌ها تولید شده و مورد آزمون کشش قرار گرفتند. دستگاه کشش YLE با ظرفیت ۵ تن جهت انجام این آزمون مورد استفاده قرار گرفت. هم‌چنین، داده‌های مربوط به مدول یانگ، به وسیله دستگاه گزارش شد.

نتایج و بحث

بررسی اثر فرآیند تولید

به منظور بررسی اثر فرآیند تولید بر خواص کششی نانوکامپوزیت، دو نوع پیش‌عملیات تعریف شد که منحنی‌های مربوط به آزمون کشش نمونه‌های استاندارد وینیل استر خالص و نانوکامپوزیت‌های وینیل استر/TiO₂ (حاوی ۱٪ وزنی از نانوذرات) در شکل ۱ آمده است. همان‌گونه که ملاحظه می‌شود، در هر منحنی یک نقطه بیشینه وجود دارد که بیانگر استحکام کششی نمونه است. هم‌چنین، ناحیه الاستیک از دو بخش خطی و غیرخطی تشکیل شده که ناشی از رفتار الاستیک و ویسکوز زمینه پلیمری است. پیش‌عملیات نوع اول به همراه ۱۰ دقیقه

آماده‌سازی نمونه‌ها

به منظور آماده‌سازی نمونه پلیمری خالص، رزین وینیل استر با پیش‌برنده‌ها و کاتالیست به مدت ۱۰ دقیقه به آرامی مخلوط و در ادامه به وسیله یک پمپ خلاء گاززدایی شد تا حفره‌های هوایی از رزین خارج گردد. مخلوط بدست آمده به داخل قالب ریخته شد و به مدت ۲۴ ساعت در دمای اتاق عمل آوری گردید. در ادامه، جهت اطمینان از اتمام فرآیند عمل آوری، عمل آوری نهایی در شرایط زیر انجام گرفت: (۱) ۲ ساعت در ۸۰ درجه سانتیگراد. (۲) ۱ ساعت در ۱۰۵ درجه سانتیگراد [۲۸].

جهت ساخت نانوکامپوزیت‌های TiO₂/وینیل استر، دو نوع پیش‌عملیات متفاوت دنبال گردید:

پیش‌عملیات نوع اول (Type I): رزین وینیل استر با مقدار مورد نیاز از نانوذرات TiO₂ و عامل پیوندسان BYK-C8000 به وسیله یک میکسر با سرعت ۳۸۰۰ دور در دقیقه و به مدت ۲۰ دقیقه مخلوط گردید. برای جلوگیری از افزایش بیش از حد دمای مخلوط، حمام آب و یخ مورد استفاده قرار گرفت. به منظور حذف حفره‌های هوایی، مخلوط به کمک یک پمپ خلاء گاززدایی شد.

پیش‌عملیات نوع دوم (Type II): پس از تخمین و جداسازی مقدار مورد نیاز نانوذرات TiO₂ و پیش از افزودن تقویت‌کننده‌ها به رزین، نانوذرات در مقدار کافی استون، در یک ظرف در بسته و به مدت ۹۰ دقیقه در دستگاه آلتراسونیک حمامی، تحت امواج فراصوت قرار گرفتند. از آنجا که حضور استون در زمینه پلیمری اثراتی محروم بر خواص در پی خواهد داشت، لذا پس از اتمام فرآیند آلتراسونیک، نسبت به خارج‌سازی استون به وسیله قراردهی در محیط باز و استفاده از آون و روتاری اقدام گردید. سپس، مراحل بر اساس پیش‌عملیات نوع اول (Type I) دنبال شد.

در راستای شکست مؤثر آگلومره‌ها و توزیع همگن نانوذرات در زمینه پلیمری، از دستگاه آلتراسونیک پروپی (23 kHz, MSE (UK) Ltd) استفاده شد. بر اساس نتایج Bittmann و همکارانش [۲۰]، پارامترهای فرآیند بر اساس شرایط زیر انتخاب گردید: (۱) دامنه نوسان آلتراسونیک: ۱۰۰٪ دامنه نوسان بیشینه. (۲) حجم مخلوط: ۴۰۰ میلی‌لیتر. (۳) زمان فراصوت: ۱۰ و ۲۰

Pukansky و همکارانش [۳۱] نشان می‌دهد که مدول یانگ، تحت تاثیر مقدار پلیمرهای پیوند خورده با ذرات پرکننده است. به بیان دیگر، مدول کششی با مساحت سطح ذره که متأثر از اندازه و شکل آن می‌باشد، در ارتباط است.

همچنین، ملاحظه می‌گردد که افزایش میزان نانوذرات در ساختار، درصد کرنش تا شکست نمونه را به میزان قابل توجهی نسبت به نمونه خالص کاهش می‌دهد (در حدود ۳۳٪). افزون بر این، با افزایش محتوای پرکننده، نقطه تبیینه منحنی‌ها در کرنش‌هایی کمتر ظاهر می‌شوند. نمونه‌های خالص و نانوکامپوزیت‌های حاوی ۱٪ و ۲۵٪ TiO_2 ، تا حدودی از خود تغییر فرم پلاستیک نشان می‌دهند، اما در نمونه حاوی ۵٪ وزنی از نانوپرکننده، شکست از نوع کاملاً ترد بوده و نمونه بالافاصله پس از نقطه تسلیم دچار شکست شده است. در محتوای بالای نانوذرات، حضور آگلومرهای نسبتاً بزرگ در ساختار و عدم توزیع همگن ذرات در زمینه اجتناب‌ناپذیر است و لذا، تمرکز تنش موضعی و شکست ترد نمونه را در پی دارد [۲۶].

بر اساس نتایج، حضور نانوذرات TiO_2 در زمینه وینیل استر در محتوای ۵٪ وزنی، کاهش شدید استحکام کششی را نسبت به وینیل استر خالص موجب می‌گردد (در حدود ۱۱٪) که متأثر از چگونگی توزیع نانوذرات می‌باشد. روشن است که اثرات شکننده‌گی در محتوای بالاتر پرکننده که احتمال حضور آگلومرهای بالاست، بیشتر رخ می‌دهد. لذا، این نتایج بر اهمیت رسیدن به توزیع همگن نانوذرات در ساختار پلیمری تاکید دارد. به بیان دیگر، پارامترها و تجهیزات مورد استفاده (اعم از بیشترین توان آتراسونیک) در فرآیند تولید نمونه‌های شامل ۵٪ وزنی نانوذرات TiO_2 قادر به ایجاد چنین ساختار همگنی نبوده است. از سویی، نانوذرات TiO_2 دارای سطح ویژه بالایی هستند و با افزایش محتوای آن‌ها در زمینه، نسبت پلیمر به نانوپرکننده کاهش می‌باید. لازمه دستیابی به اثر استحکام‌بخشی نانوذرات در پلیمر، احاطه هرچه بیشتر سطوح ذره به وسیله زنجیره‌های پلیمری است. به بیان دیگر، می‌بایست ترشوندگی مناسب نانوذرات TiO_2 به وسیله زنجیره‌های پلیمری صورت پذیرد. بدیهی است که

اعمال فرآیند آتراسونیک، بالاترین مدول و استحکام کششی را نسبت به وینیل استر خالص و دیگر روش‌های تولید نانوکامپوزیت دارد (شکل‌های ۲ و ۳). نتایج بدست آمده از بررسی اثر فرآیند تولید بر خواص کششی نمونه‌های وینیل استر خالص و کامپوزیت وینیل استر نانو TiO_2 به طور خلاصه در جدول ۳ آمده است.

این در حالی است که با استفاده از پیش عملیات نوع دوم و با اعمال ۲۰ دقیقه فرآیند آتراسونیک، بیشترین کاهش را در مدول و استحکام کششی خواهیم داشت. در توضیح این پدیده، باید توجه داشت که فرآیند آتراسونیک، کارکردی دوسویه دارد زیرا افزون بر شکست آگلومرهای، می‌تواند تجمع ذرات را در پی داشته باشد. از سوی دیگر، پودرهای نانوذرات شامل توده‌هایی هستند که این توده‌ها در برگیرنده پیوندهای یونی و واندروالس می‌باشند [۲۰ و ۳۰]. شکست پیوندهای یونی موجود میان آگلومرهای با استفاده از شیوه‌های متداول توزیع امکان‌پذیر نمی‌باشد. در نتیجه، در افزایش زمان آتراسونیک چنین محدودیتی وجود دارد و می‌بایست مناسب‌ترین زمان به منظور ممانعت از تشدید آگلومرهای در ساختار انتخاب شود [۳۰].

با بررسی نتایج بدست آمده، پیش عملیات نوع اول به همراه ۱۰ دقیقه اعمال فرآیند آتراسونیک به عنوان روش مرجع انتخاب و با تغییر محتوای پرکننده، تاثیر آن بر منحنی تنش-کرنش در آزمون کشش مورد بررسی قرار گرفت.

بررسی اثر محتوای تقویت‌کننده

منحنی‌های مربوط به آزمون کشش نمونه‌های استاندارد وینیل استر خالص و نانوکامپوزیت‌های وینیل استر TiO_2 (حاوی ۱٪/۲۵٪ و ۵٪ وزنی از نانوذرات) در شکل ۴ نشان داده شده است. یکی از دلایل اصلی افزودن پرکننده‌ها به زمینه پلیمری، افزایش مدول الاستیک می‌باشد. نتایج حاکی از آن است که با افزایش محتوای نانوذرات TiO_2 در زمینه پلیمری، مدول یانگ همواره افزایش می‌باید؛ به گونه‌ای که حضور ۵٪ وزنی نانو پرکننده در رزین، مدول را در حدود ۱۰٪ نسبت به وینیل استر خالص افزایش داده است. پژوهش‌های

دی اکسید تیتانیوم ارزیابی و با توجه به نتایج بدست آمده، شرایط بهینه گزینش گردید. در ادامه، تاثیر محتوای نانوذرات TiO_2 بر رفتار کششی نانوکامپوزیت پلیمری مورد مطالعه قرار گرفت. آزمایش‌ها نشان دادند که با افزایش درصد وزنی نانو پرکننده، مدول یانگ مرتب‌آفزايش می‌یابد؛ به گونه‌ای که به ازای $5\% \text{ wt}$ از نانوذرات، افزایشی در حدود 10% در مدول مشاهده گردید. این درحالی است که کرنش تا شکست نمونه‌ها به گونه‌ای چشمگیر کاهش می‌یابد. حضور نانوذرات TiO_2 در زمینه وینیل استر در محتوای 5% وزنی، کاهش شدید استحکام کششی (در حدود 11%) را نسبت به وینیل استر خالص موجب می‌گردد.

سپاسگزاری

بدین‌وسیله از مدیریت محترم شرکت فراتک، بويژه از مسئولان و کارکنان واحد تحقیق و توسعه، به دلیل تامین مواد اولیه و تجهیزات مورد نیاز تولید و آزمون نمونه‌ها و نیز از مسئولان محترم دانشکده دامپزشکی دانشگاه شیراز به خاطر فراهم‌سازی امکان استفاده از دستگاه آلتراسونیک پروبی - سمیمانه سپاسگزاری می‌شود.

References

- 1- M. Sumita, Y. Tsukumo, K. Miyasaka, and K. Ishikawa, Tensile yield stress of polypropylene composites filled with ultrafine particles, *J.Mater. Sci.*, 18:1758-1764, 1983.
- 2- P.B. Messersmith, and E.P. Giannelis, Synthesis and characterization of layered silicate-epoxy nanocomposites, *Chem. Mater.*, 6:1719-1725, 1994.
- 3- S. Iijima, Helical microtubules of graphitic carbon, *Nature*, 354:56-58, 1991.
- 4- L.S. Schadler, Polymer-based and polymer-filled nanocomposites, *Wiley-VCH Verlag/gmbH & Co. KgaA*, Weinheim, Germany, 2003.
- 5- A.P. Kumar, D. Depan, N.S. Tomer, and R.P. Singh, Nanoscale particles for polymer degradation and stabilization-trends and future perspectives, *Progress in Polymer Sci.*, 34:479-515, 2009.

با افزایش درصد نانوپرکننده از $2/5\% \text{ تا } 5\%$ ، افزون بر افزایش تعداد نانوذرات، نسبت پلیمر به ذره را کاهش داده است. این به معنای آن است که زنجیره‌های پلیمری نمی‌توانند به طور کامل ذرات TiO_2 را تر نموده و ارتباطی موثر با سطوح ذرات برقرار نمایند. لذا، فصل مشترک زمینه/ذره از استحکام کافی برخوردار نبوده و کاهش استحکام در نمونه را موجب می‌گردد. مشابه چنین رفتاری به وسیله Guo و همکارانش [۳۲] در کامپوزیت وینیل استر/نانو اکسیدمس و نیز Zhang و همکارانش [۳۳] در پلیمریزاسیون درجا کامپوزیت هیبرید پلی‌اتیلن/ نانو آلومنیا گزارش شده است.

در جدول ۴، اثر محتوای پرکننده بر نتایج آزمون کششی نمونه‌های وینیل استر خالص و کامپوزیت وینیل استر/نانو TiO_2 به طور خلاصه آورده شده است.

نتیجه‌گیری

نانوکامپوزیت‌های وینیل استر / دی اکسید تیتانیوم با استفاده از روش مکانیکی و اختلاط در حالت مذاب با موفقیت تولید و رفتار کششی آن‌ها با استفاده از آزمون کشش تک‌محوری مورد بررسی قرار گرفت. در ابتدا تاثیر پارامترهای موثر در فرآیند- با محتوای $5\% \text{ wt}$ نانوذرات

- 6- H.R. Dennis, D.L. Hunter, D. Chang, S. Kim, J.L. White, J.W. Cho, and D.R. Paul, Nanocomposites: the importance of processing, *Plastics Eng.*, 1:56, 2001.
- 7- J.W. Cho, and D.R. Paul, Nylon 6 nanocomposites by melt compounding, *Polymer*, 42:1083, 2001.
- 8- M. Xanthos, Functional fillers for plastics, *Wiley-VCH Verlag GmbH & Co. KGaA*, Germany, 2005.
- 9- G. Prichard, Quick reference guide, *Chapman and Hall*, New York, 1998.
- 10- J. Stepek, and J. Daoust, Additives for plastics, *Springer-Verlag*, New York, 1983.
- 11- Radian Corp. Chemical additives for the plastics industry: properties, applications and toxicologies, *Noyes Data Corp.*, Park Ridge, 55-59, 1987.
- 12- J.H. Clint, Surfactants: applications in plastics, *Champan and Hall*, New York, 1998.

- 13- R.G. Raj, B.V. Kokta, D. Maldas, and C. Daneault, Use of wood fibers in thermoplastic composites, *Polymer Comp.*, 9(6):404-411, 1988.
- 14- D. Maldas, B.V. Kokta, and C. Daneault, Influence of coupling agents and treatments on the mechanical properties of cellulose fiber-polystyrene composites, *J.Appl. Polym. Sci.*, 37:751-775, 1989.
- 15- Q. Wang, H. Xia, and C. Zhang, Preparation of polymer/inorganic nanoparticles composites through ultrasonic irradiation, *J.Appl. Polym. Sci.*, 80:1478, 2001.
- 16- S.S. Park, N. Bernet, S.D.L. Roche, and H.T. Hahn, Processing of iron oxide-epoxy vinyl ester nanocomposites, *J.Compos. Mater.*, 37:465, 2003.
- 17- J. Sandler, M.S.P. Shaffer, T. Prasse, W. Bauhofer, K. Schulte, and A.H. Windle, Development of a dispersion process for carbon nanotubes in an epoxy matrix and the resulting elecetrical properties, *Polymer*, 40:5967-5971, 1999.
- 18- T.J. Mason, and J.P. Lorimer, Applied sonochemistry, *Wiley-VCH*, Weinheim, Germany, 2002.
- 19- K.S. Suslick, and G.L. Price, Application of ultrasound to materials chemistry, *Annual Reviews Materials Sci*, 29:295-326, 1999.
- 20- B. Bittmann, F. Haupert, A.K. Schlarb, Ultrasonic dispertion of inorganic nanoparticles in epoxy resin, *Ultrasonics Sonochemistry*, 16:622-628, 2009.
- 21- T.D. Fornes, and D.R. Paul, Modeling properties of nylon 6/clay nanocomposites using composite theories, *Polymer*, 44:4993-5013, 2003.
- 22- K.Y. Lee, and D.R. Paul. A model for composites containing three-dimensional ellipsoidal inclusions, *Polymer*, 46:9064-9080, 2005.
- 23- S. Sen, J.D. Thomin, S.K. Kumar, and P. Keblinski, Molecular underpinnings of the mechanical reinforcement in polymer nanocomposites, *Macromolecules*, 40:4059-4067, 2007.
- 24- L. Nielsen, and R. Landel, Mechanical properties of polymer and composites, *Marcel Decker*, New York, 1994.
- 25- M. Zhang, H. Zeng, L. Zhang, G. Lin, R.K.Y. Li, Fracture characteristics of discontinuous carbon fiber-reinforced PPS and PES-C composites, *Polym. Compos.*, 1:357, 1993.
- 26- C.L. Wu, M.Q. Zhang, M.Z. Rong, and K. Friedrich, Tensile performance improvement of low nanoparticles filled polypropylene composites, *Compos. Sci. Technol.*, 62:1327, 2002.
- 27- B. Wetzel, F. Haupert, and M.Q. Zhang, Epoxy nanocomposites with high mechanical and tribological performance, *Compos. Sci. Technol.*, 63:2055, 2003.
- 28- Scott Bader Co. Crystic VE671 (AD)-F: epoxy vinyl ester resin, Scott Bader Middle East Limited, 2009.
- 29- Degussa Co. Aerioxide TiO₂ P 25: hydrophilic fumed titanium dioxide, Germany.
- 30- Bittmann, B., Haupert, F., Schlarb, A.K. Preparation of TiO₂/epoxy nanocomposites by ultrasonic dispersion and their structure property relationship, *Ultrasonics Sonochemistry*, 18:120-126, 2011.
- 31- B. Pukansky, J. Kolarik, F. Lednický, Polymer composites: proceedings of the 28th microsymposium on macromolecules, Prague, Gzechoslovakia, 67:553, 1985.
- 32- Z. Guo, X. Liang, T. Pereira, R. Scaffaro, and H.T. Hahn, CuO nanoparticle filled vinyl-ester resin nanocomposites: fabrication, characterization and property analysis, *Composites Science and Technology*, 67:2036-2044, 2007.
- 33- X. Zhang, and L.C. Simon, In situ polymerization of hybrid polyethylene-alumina nanocomposites, *Macromol Mater Eng.*, 290:573-583, 2005.

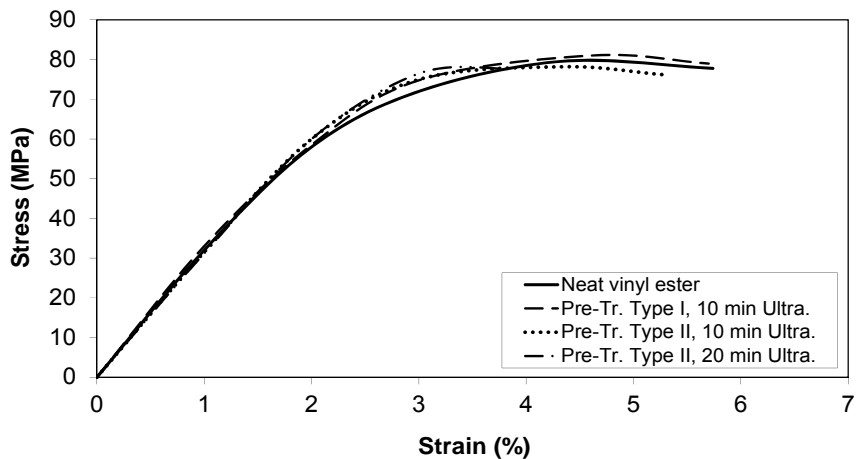
پیوست‌ها

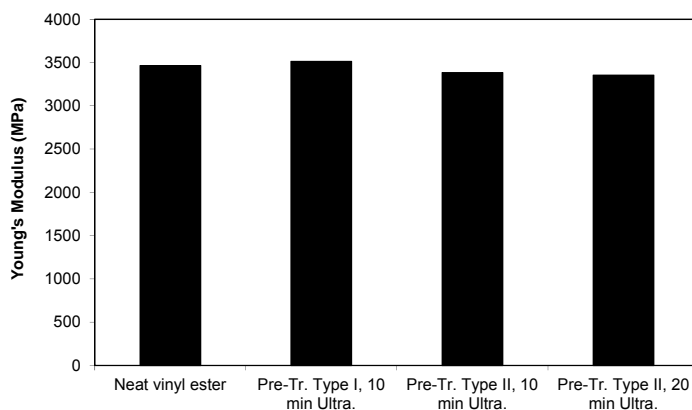
جدول ۱- ویژگی رزین وینیل استر مورد استفاده در این پژوهش.

رزین مایع	واحد	ویژگی‌ها
۱۵ حداکثر	mgKOH/g	ارزش اسید
۴۵۰ ± ۵۰	%	محتوای بخارشدنی
۱/۰۴-۱/۰۶	g/ml	دانسیته در ۲۰ درجه سانتیگراد
۶ ماه		زمان مجاز نگهداری (حداکثر ۲۵ درجه، در تاریکی)

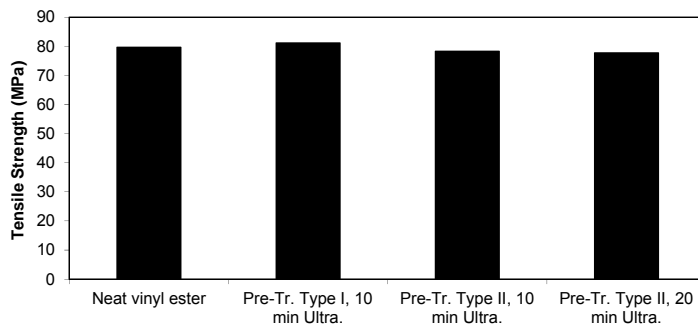
جدول ۲- مشخصه‌های مربوط به پودر مورد استفاده در این پژوهش.

رزین مایع	واحد	ویژگی‌ها
۵۰ ± ۱۵	m ² /g	مساحت سطح ویژه
۲۱ nm		متوفع اندازه ذره اولیه
۹۹/۵۰ ≥	%wt.	میزان خلوص

شکل ۱- اثر فرآیند تولید بر منحنی‌های تنش-کرنش آزمون کشش نمونه‌های وینیل استر خالص و کامپوزیت وینیل استر /
.TiO₂ ۱ %wt



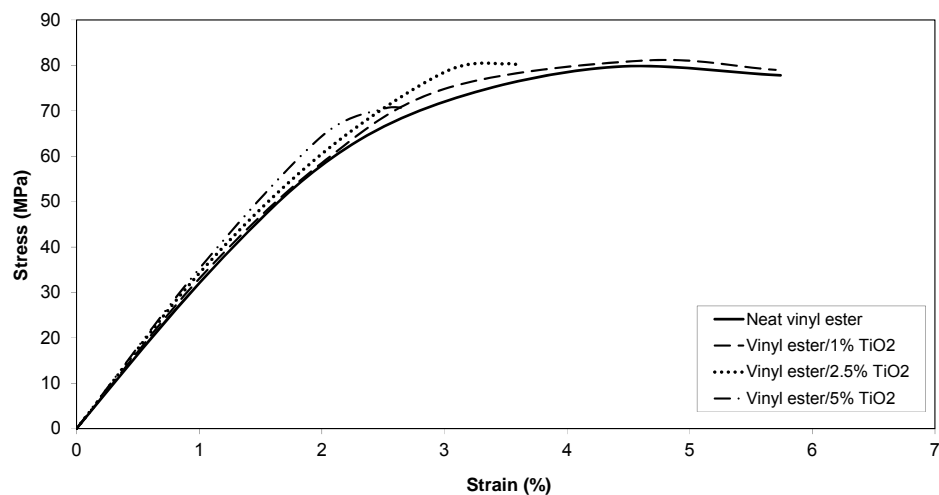
شکل ۲- اثر فرآیند تولید بر مدول یانگ نمونه‌های وینیل استر خالص و کامپوزیت وینیل استر / TiO_2 ۱٪/wt نانو



شکل ۳- اثر فرآیند تولید بر استحکام کششی نمونه‌های وینیل استر خالص و کامپوزیت وینیل استر / TiO_2 ۱٪/wt نانو

جدول ۳- اثر فرآیند تولید بر رفتار کششی نمونه‌های وینیل استر خالص و کامپوزیت وینیل استر / نانو TiO_2

نام نمونه	مدول یانگ (MPa)	استحکام کششی (MPa)
وینیل استر خالص	۳۴۶۴/۴	۷۹/۶
نانو کامپوزیت وینیل استر / TiO_2 ۱٪/wt	۳۵۱۴	۸۱/۰۴
پیش عملیات نوع اول، ۱۰ دقیقه آلتراسونیک	۳۳۸۲/۸	۷۸/۲
نانو کامپوزیت وینیل استر / TiO_2 ۱٪/wt	۳۳۵۳/۴	۷۷/۷
پیش عملیات نوع دوم، ۲۰ دقیقه آلتراسونیک		



شکل ۴- اثر محتوای پرکننده بر منحنی های تنش-کرنش آزمون کشش نمونه های وینیل استر خالص و کامپوزیت وینیل استر / TiO_2 / نانو

جدول ۴- اثر محتوای پرکننده بر رفتار کششی نمونه های وینیل استر خالص و کامپوزیت وینیل استر / نانو TiO_2

نام نمونه	مدول یانگ (MPa)	استحکام کششی (MPa)
وینیل استر خالص	۳۴۶۴/۴	۷۹/۶
نانوکامپوزیت وینیل استر / TiO_2 ۱٪.wt.	۳۵۱۴	۸۱/۰۴
نانوکامپوزیت وینیل استر / TiO_2 ۲.۵٪.wt.	۳۶۴۸/۴	۸۰/۳۴
نانوکامپوزیت وینیل استر / TiO_2 ۵٪.wt.	۳۷۹۷/۶	۷۰/۵